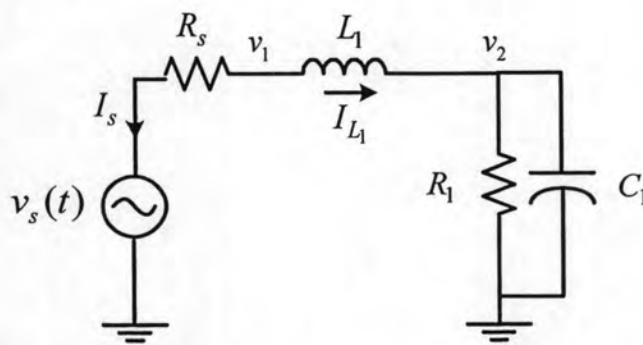


บทที่ 2

งานวิจัยก่อนหน้า

2.1 การวิเคราะห์ผลตอบสนองเชิงเวลาของวงจรไฟฟ้า

การวิเคราะห์ห้วงจรไฟฟ้าคือการหาค่าของตัวแปรต่างๆในวงจรไฟฟ้าเช่น แรงดัน หรือ กระแส โดยอาศัยสมการคุณลักษณะทางไฟฟ้าของอุปกรณ์ต่างๆ ร่วมกับสมการความสัมพันธ์ของตัวแปรจากอุปกรณ์ที่สร้างจากหลักการพื้นฐานของวงจรไฟฟ้าเช่น Kirchhoff's Voltage Law (KVL) หรือ Kirchhoff's Current Law (KCL) ในการหาค่าตัวแปรต่างๆ ซึ่งวิธีหนึ่งที่ใช้อย่างแพร่หลายในการสร้างสมการความสัมพันธ์คือสมการโนด (Nodal Equation, NE) ที่ใช้ความสัมพันธ์ของกระแสรวมที่จุดต่างๆของวงจรตามหลัก KCL เพื่อหาค่าแรงดันที่จุดต่างๆของวงจร แต่วิธี NE มีปัญหาเมื่อใช้กับอุปกรณ์บางตัวเช่นแหล่งจ่ายแรงดันเนื่องจากมีเพียงกระแสที่เป็นตัวแปร ดังนั้นจึงมีการปรับปรุงให้ใช้ทั้งตัวแปรที่เป็นทั้งแรงดันและกระแสโดยเรียกว่าวิธี Modified Nodal Equation (MNE) [1] โดยยกตัวอย่างการเขียนสมการ MNE ของวงจรในรูปที่ 2-1 ที่ประกอบด้วยแหล่งจ่ายแรงดันแปรผันตามเวลา $v_s(t)$ ที่มีความต้านทานภายใน R_s ต่อกับวงจร RLC ดังรูปที่ 2-1



รูปที่ 2-1 ตัวอย่างวงจรไฟฟ้าวงจรหนึ่ง

$$i_s + \frac{(v_1 - v_s)}{R_s} = 0$$

$$\frac{(v_s - v_1)}{R_s} + i_L = 0$$

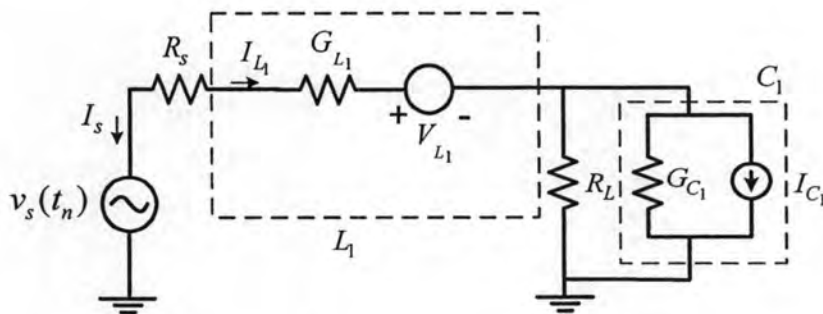
$$i_L + \frac{v_2}{R_1} + C_1 \frac{dv_2}{dt} = 0$$

$$v_1 - v_2 = L_1 \frac{di_L}{dt}$$

(2.1)

การใช้โปรแกรมวิเคราะห์วงจรไฟฟ้านั้นต้องใช้วิธีทางตัวเลขในการแก้สมการ ดังนั้นสมการทั้งหมดต้องเปลี่ยนให้อยู่ในรูปแบบของสมการพีชคณิต เช่นกรณีที่เป็นสมการอนุพันธ์ต้องประมาณค่าอนุพันธ์ดังกล่าวด้วยวิธีทางตัวเลข (Differential formula) แบบต่างๆ หรือเป็นสมการไม่เป็นเชิงเส้นต้องประมาณให้อยู่ในรูปแบบของสมการเชิงเส้นด้วยวิธีต่างๆ เช่นวิธีของนิวตัน-ราฟสัน (Newton-Raphson method ,NR) [2] เป็นต้น โดยคำตอบที่ต้องการในการหาค่าวิเคราะห์การทำงานเชิงเวลาของวงจรนั้นคือค่าของแรงดันและกระแส ณ จุดต่างๆในวงจรที่เวลาใดๆ ดังนั้นสมการคุณลักษณะของอุปกรณ์ต่างๆ จะถูกจัดให้อยู่ในรูปสมการเชิงเส้นเทียบกับเวลา เราเรียกว่าแบบจำลองทางเวลา (Time Domain Companion Model) ตัวอย่างแบบจำลองทางเวลาของวงจรในรูปที่ 2-1 แสดงเป็นวงจรสมมูลในรูปที่ 2-2 โดยที่อนุพันธ์ทางเวลาทั้งหมดถูกประมาณค่าด้วยวิธีออลเลอร์แบบกลับหลัง (Backward Euler ,BE)

$$\begin{aligned}
 i_s + \frac{(v_1(t_n) - v_s(t_n))}{R_s} &= 0 \\
 \frac{(v_s(t_n) - v_1(t_n))}{R_s} + i_{L_1}(t_n) &= 0 \\
 -i_{L_1}(t_n) + \frac{v_2}{R_1} + C_1 \left(\frac{v_2(t_n)}{h_n} \right) &= C_1 \left(\frac{v_2(t_{n-1})}{h_n} \right) \\
 \frac{v_1(t_n) - v_2(t_n)}{L_1} - \frac{i_{L_1}(t_n)}{h_n} &= -\frac{i_{L_1}(t_{n-1})}{h_n}
 \end{aligned} \tag{2.2}$$

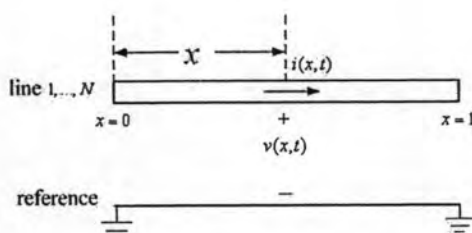


รูปที่ 2-2 แบบจำลองทางเวลาของวงจรในรูปที่ 2-1

จากที่กล่าวมาข้างต้นสายส่งที่มีคุณลักษณะทางไฟฟ้าเป็นสมการอนุพันธ์ย่อยของเวลา และระยะในสายนั้นต้องมีการสร้างแบบจำลองทางเวลา ซึ่งตลอดหลายปีที่ผ่านมา มีผู้เสนอวิธีการสร้างแบบจำลองทางเวลาในหลากหลายวิธีดังที่จะกล่าวในส่วนต่อไป

2.2 งานวิจัยก่อนหน้า

ดังที่กล่าวมาแล้วว่าการจำลองการหาผลตอบสนองเชิงเวลาของวงจรไฟฟ้าโดยโปรแกรมคอมพิวเตอร์นั้นต้องสร้างแบบจำลองเชิงเวลาจากสมการคุณลักษณะของอุปกรณ์ต่างๆก่อน โดยสมการคุณลักษณะของสายส่ง N เส้นไม่รวมเส้นอ้างอิงที่แสดงไว้ในรูปที่ 2.1 จะถูกอธิบายโดยใช้สมการ Telegrapher ดังสมการ (2.3)



รูปที่ 2-3 สายส่ง $N + 1$ เส้นรวมเส้นอ้างอิง

$$\frac{\partial}{\partial x} \begin{bmatrix} \mathbf{v}(x,t) \\ \mathbf{i}(x,t) \end{bmatrix} = - \begin{bmatrix} 0 & \mathbf{L} \\ \mathbf{C} & 0 \end{bmatrix} \times \frac{\partial}{\partial t} \begin{bmatrix} \mathbf{v}(x,t) \\ \mathbf{i}(x,t) \end{bmatrix} - \begin{bmatrix} 0 & \mathbf{R} \\ \mathbf{G} & 0 \end{bmatrix} \times \begin{bmatrix} \mathbf{v}(x,t) \\ \mathbf{i}(x,t) \end{bmatrix} \quad (2.3)$$

N เป็นจำนวนสายส่งเทียบกับเส้นอ้างอิง

\mathbf{L} เป็นเมทริกซ์ค่าเหนี่ยวนำต่อหน่วยความยาว ของสายส่ง มีขนาด $N \times N$

\mathbf{C} เป็นเมทริกซ์ค่าความเก็บประจุต่อหน่วยความยาว ของสายส่ง มีขนาด $N \times N$

\mathbf{G} เป็นเมทริกซ์ค่าความนำต่อหน่วยความยาว ของสายส่ง มีขนาด $N \times N$

\mathbf{R} เป็นเมทริกซ์ค่าความต้านทานต่อหน่วยความยาว ของสายส่ง มีขนาด $N \times N$

$\mathbf{v}(x,t)$ เป็นเวกเตอร์แรงดันที่จุดต่างๆในสายส่ง มีขนาด N

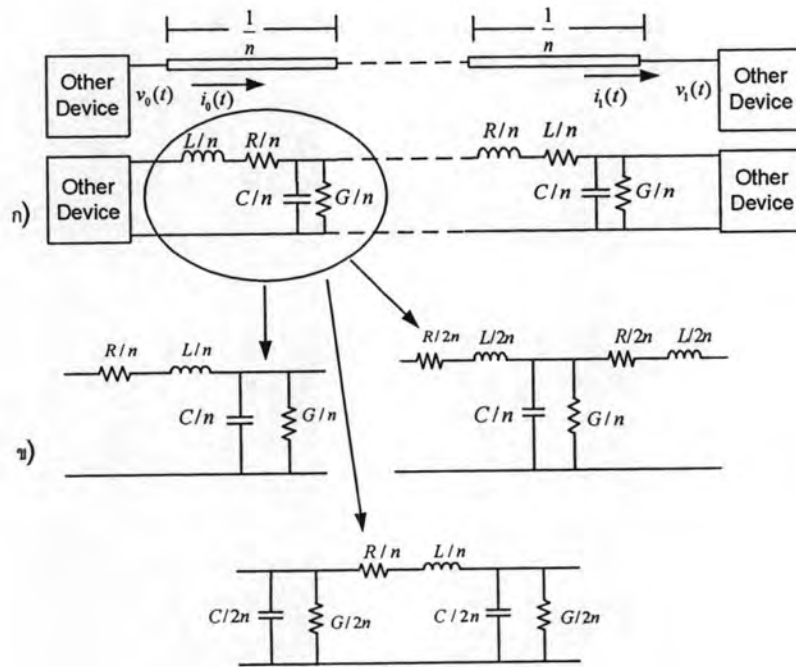
$\mathbf{i}(x,t)$ เป็นเวกเตอร์กระแสที่จุดต่างๆในสายส่ง มีขนาด N

สมการ Telegrapher อยู่ในรูปของอนุพันธ์ย่อยเทียบกับเวลาและระยะทางในสายส่ง ซึ่งไม่สะดวกต่อการแก้สมการจตุรรมที่เป็นสมการเชิงเส้น จึงจำเป็นต้องประมาณอนุพันธ์เชิงระยะทางในสมการ Telegrapher เพื่อให้อยู่ในรูปของสมการเชิงเส้นของระหว่างแรงดันและกระแสที่ปลายสายส่งแต่ละด้าน ณ เวลาใดๆ จากอดีตถึงปัจจุบันมีผู้ทำวิจัยทางด้านนี้หลายท่าน เราสามารถแบ่งงานวิจัยเหล่านี้เป็นกลุ่มๆได้ดังนี้

2.2.1 Lumped Segmentation

วิธี Lumped segmentation นั้นอาศัยหลักแบ่งสายส่งเป็นท่อนย่อยตามระยะทางจำนวน n ท่อน แล้วแทนท่อนย่อยแต่ละท่อนด้วยวงจรก่อน(Lumped model) ที่สร้างจากค่าพารามิเตอร์

ของสาย โดยแสดงแบบจำลองแบบ Lumped segmentation ของสายส่ง n ท่อนในรูปที่ 2-4 ซึ่ง มีวงจรก่อนได้หลายรูปแบบดังแสดงไว้ในรูปที่ 2-4ข)



รูปที่ 2-4 การใช้แบบจำลองแบบ Lumped segmentation ในการวิเคราะห์สายส่ง ก) หลักการของวิธี Lumped segmentation ข) คือวงจรก่อนแบบต่างๆ

เนื่องจากวิธีนี้มีพื้นฐานมาจากการประมาณค่าอนุพันธ์ในเชิงระยะทาง ดังนั้นความแม่นยำจึงขึ้นกับความยาวของท่อนย่อย โดยความยาวของท่อนย่อยที่เหมาะสมจะต้องสอดคล้องกับเงื่อนไข $h > \tau$ เมื่อ τ คือค่าประวิงเวลาของท่อนย่อย ซึ่งมีค่า $\tau = \sqrt{LC/n^2}$ และ h คือขนาดขั้นเวลาที่ใช้ในการจำลอง ปี 1974 Wilson [3] ได้เสนอวิธีหาจำนวนท่อนย่อยที่เหมาะสมในกรณีที่รู้ความถี่สูงสุดของสัญญาณที่ส่งผ่านสายส่ง แต่ในทางปฏิบัติก็ยังมีปัญหาในกรณีที่สัญญาณประกอบด้วยองค์ประกอบหลายความถี่เช่น สัญญาณดิจิทัล ทำให้ต้องใช้จำนวนท่อนที่สูงเพื่อความถูกต้องของการวิเคราะห์วงจร อีกทั้งลักษณะของวงจรก่อนที่นำมาแทนยังส่งผลถึงผลตอบสนองความถี่ของสายส่งทั้งเส้นด้วย ตามที่ Triezenberg [4] ได้ทำวิจัยเกี่ยวกับเรื่องนี้ไว้ในปี 1979 จากที่กล่าวมาถึงแม้แบบจำลองแบบนี้มีความสะดวกในการนำมาใช้งาน แต่ไม่สามารถทราบถึงความผิดพลาดที่เกิดขึ้นจากการประมาณได้ ดังนั้นในการใช้งานจริงจึงต้องใช้จำนวนท่อนย่อยที่มากเพื่อให้ผลการวิเคราะห์มีความแม่นยำ

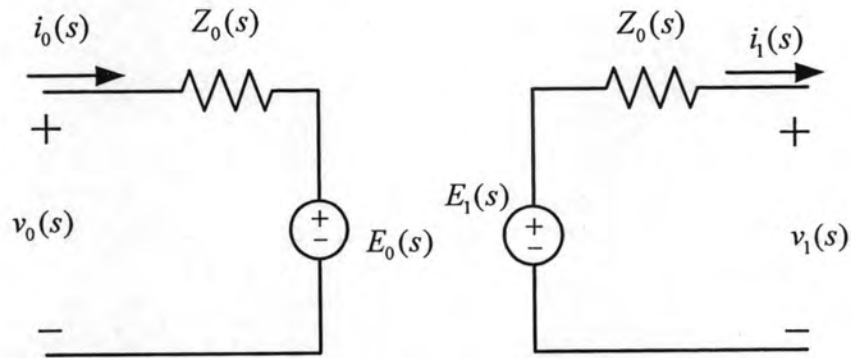
2.2.2 Method of characteristic

วิธีนี้มีพื้นฐานมาจากการจำลองเชิงความถี่ที่ปลายทั้งสองด้านของสายส่งดังรูปที่ 2-5 โดยมีสมการดังนี้

$$E_0(s) = e^{-\tau(s)} [V_1(s) - Z(s)I_1(s)] \quad (2.4)$$

$$E_1(s) = e^{-\tau(s)} [V_0(s) + Z(s)I_0(s)] \quad (2.5)$$

โดย $Z(s) = \sqrt{\frac{R+sL}{G+sC}}$ และ $\tau(s) = \sqrt{(R+sL)(G+sC)}$



รูปที่ 2-5 แบบจำลองที่ปลายทั้งสองด้านของสายส่งในโดเมนความถี่

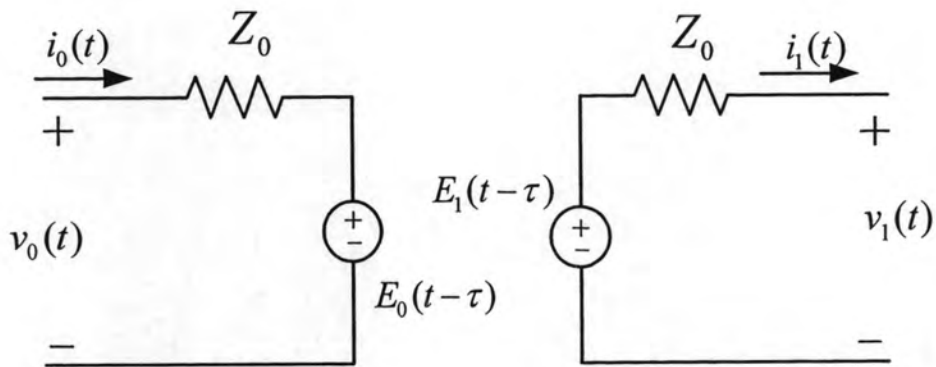
สมการทั้งสองนี้ได้จากการแก้สมการ telegrapher ในโดเมนความถี่ เพื่อแปลงกลับมาในรูปแบบจำลองเชิงเวลาในขั้นตอนต่อไป ปี 1967 Branin [5] เสนอแบบจำลองในกรณีสายส่งไม่มีความสูญเสีย (Lossless Transmission line) ดังรูปที่ 2-6 โดยแบบจำลองทางเวลาจะเป็นตามสมการ

$$E_0(t) = Z_0 J_0(t) = v_1(t) + Z_0 i_1(t) \quad (2.6)$$

$$E_1(t) = Z_0 J_1(t) = v_0(t) - Z_0 i_0(t) \quad (2.7)$$

เมื่อ $Z_0 = \sqrt{\frac{L}{C}} \quad ; \quad \tau = \sqrt{LC}$

แบบจำลองนี้มีความถูกต้อง 100 % แต่ใช้ได้กับสายส่งที่ไม่มีการสูญเสียเท่านั้น อีกทั้งขนาดของขั้นเวลา (time step) ต้องเป็นสัดส่วนที่หาร τ ได้ลงตัว เนื่องจากต้องใช้ค่าและแรงดันและกระแสที่ปลายที่เวลา $t - \tau$ ในการคำนวณ



รูปที่ 2-6 แบบจำลองทางเวลาของสายส่งที่ไม่มีการสูญเสียตามวิธีของ Branin

ปี 1974 Mayer [6] ได้ปรับปรุงแบบจำลองของ Branin ให้ใช้กับสายส่งที่มีการสูญเสีย (Lossy Transmission Line) โดยเพิ่มฟังก์ชันถ่วงน้ำหนัก (weight function) สองตัว ในการคำนวณค่าของแหล่งจ่ายในแบบจำลอง ณ เวลาใดๆ ตามสมการ

$$\begin{aligned} E_0(j\omega) &= A_2(j\omega)(v_0(j\omega) + Z_0 i_0(j\omega)) + A_1(j\omega)(v_1(j\omega) + Z_0 i_1(j\omega)) \\ E_1(j\omega) &= A_1(j\omega)(v_0(j\omega) + Z_0 i_0(j\omega)) + A_2(j\omega)(v_1(j\omega) + Z_0 i_1(j\omega)) \end{aligned} \quad (2.8)$$

เมื่อ $Z_0 = \lim_{\omega \rightarrow \infty} \sqrt{\frac{R + L(j\omega)}{G + C(j\omega)}}$ และ $A_1(j\omega)$, $A_2(j\omega)$ เป็นฟังก์ชันถ่วงน้ำหนักที่มีค่าเท่ากับ

$$A_1(j\omega) = \frac{1}{\cosh \tau(j\omega) + \frac{1}{2} \left[\frac{z(j\omega)}{z_0} + \frac{z_0}{z(j\omega)} \right] \sinh \tau(j\omega)} \quad (2.9)$$

$$A_2(j\omega) = \frac{A_1(j\omega)}{2} \left[\frac{z(j\omega)}{z_0} - \frac{z_0}{z(j\omega)} \right] \sinh \tau(j\omega) \quad (2.10)$$

เมื่อแปลงกลับมายังโดเมนเวลาจะได้ดังสมการ

$$\begin{aligned} E_0(t) &= a_2(t) * (v_0(t) + Z_0 i_0(t)) + a_1(t) * (v_1(t) + Z_0 i_1(t)) \\ E_1(t) &= a_1(t) * (v_0(t) + Z_0 i_0(t)) + a_2(t) * (v_1(t) + Z_0 i_1(t)) \end{aligned} \quad (2.11)$$

โดยเครื่องหมาย * หมายถึง ตัวดำเนินการคอนโวลูชัน (convolution) ตามนิยาม

$$f(t) * g(t) = \int_0^t f(t-u)g(u)du \quad (2.12)$$

ในทางปฏิบัติค่าของ $a_1(t)$ และ $a_2(t)$ จะถูกคำนวณไว้ล่วงหน้าและใช้การอินทิเกรตทางตัวเลข (Numerical integration) ในการทำคอนโวลูชัน วิธีดังกล่าวต้องใช้การคำนวณเป็นจำนวนมาก อย่างไรก็ตามวิธีแบบจำลองของ Mayer มีความแม่นยำค่อนข้างต่ำ เนื่องจากใช้การประมาณค่า Z_0 ที่ความถี่อนันต์

ในปี 1982 Marti [7] ได้ปรับปรุงวิธีของ Mayer โดยประมาณค่า $Z_0(s)$ และ $e^{-\tau(s)}$ ด้วยฟังก์ชันตรรกยะ (Rational function) เพื่อเพิ่มความแม่นยำของแบบจำลองที่ความถี่ต่างๆ ดังสมการ

$$Z_0(s) \approx Z'_0(s) = R_0 + \frac{R_1}{1+sR_1C_1} + \frac{R_2}{1+sR_2C_2} + \dots + \frac{R_n}{1+sR_nC_n} \quad (2.13)$$

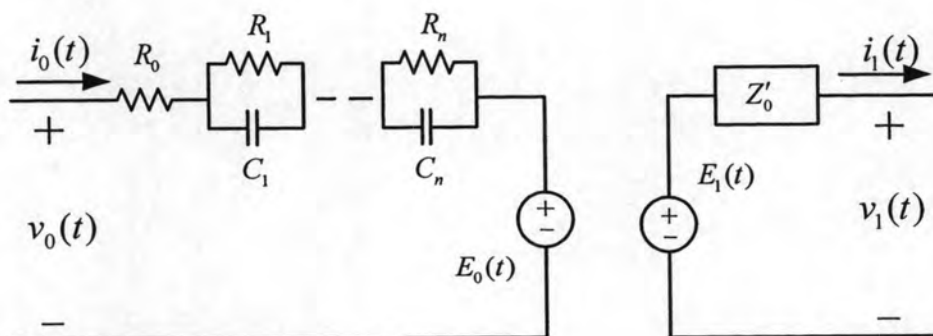
และ

$$e^{-\tau(s)} \approx A(s) = A \frac{(s+z_1)(s+z_2)\dots(s+z_n)}{(s+p_1)(s+p_2)\dots(s+p_m)}; \quad m \geq n \quad (2.14)$$

ดังนั้นสมการของแบบจำลองตามวิธีนี้จะเขียนได้ดังนี้

$$\begin{aligned} E_0(t) &= a_1(t) * v_1(t) - a_2(t) * i_1(t) \\ E_1(t) &= a_1(t) * v_0(t) + a_2(t) * i_0(t) \end{aligned} \quad (2.15)$$

เมื่อ $a_1(t)$ และ $a_2(t)$ เป็นการแปลงค่าลาปลาซกลับ (Inverse Laplace) ของ $A(s)$ และ $A(s)Z'_0(s)$ ตามลำดับ เนื่องจาก $A(s)$ และ $A(s)Z'_0(s)$ เป็นฟังก์ชันที่ง่ายต่อการแปลงกลับลาปลาซ ทำให้ไม่ต้องคำนวณค่าของ $a_1(t)$ และ $a_2(t)$ ไว้ล่วงหน้าเหมือนของ Mayer จึงสะดวกต่อการนำไปใช้งาน



รูปที่ 2-7 วงจรสมมูลของสายส่งตามวิธี Marti

ปี 1989 Chang [8] ได้เสนอให้ใช้วิธีประมาณค่า $Z_0(s)$ และ $e^{\tau(s)}$ ด้วยฟังก์ชันตรรกยะ (Rational function) $Z_e(s)$ และ $A_e(s)$ ตามลำดับด้วยวิธี Pade Approximation [9] และใช้การแปลงกลับฟูเรียร์แบบ Invert Fast Fourier Transform (IFFT) ช่วยในการอินทิเกรตเพื่อเพิ่มความเร็วในการคำนวณ จากนั้นให้ใช้ Waveform Relaxation เพื่อเพิ่มความแม่นยำในการวิเคราะห์การทำงานของวงจร ซึ่งมีขั้นตอนดังต่อไปนี้

ขั้นตอนที่ 1: กำหนดให้ $[0, T]$ เป็นช่วงเวลาของการวิเคราะห์, $k=0$ และสมมุติค่าเริ่มต้นของ

$$\{E_0^0(t), E_1^0(t); t \in [0, T]\}$$

ขั้นตอนที่ 2: วิเคราะห์วงจรสายส่งโดยใช้แบบจำลองตามรูปที่ 2-7 โดยที่ใช้ $E_0^k(t)$ และ $E_1^k(t)$ เพื่อหา $\{v_0^k(t), i_0^k(t), v_1^k(t), i_1^k(t); t \in [0, T]\}$

ขั้นตอนที่ 3: นำผลที่ได้มาคำนวณ

$$E_0^k(t) = (2v_1^k(t) - E_1^{k-1}(t)) * a_e(t)$$

$$E_1^k(t) = (2v_0^k(t) - E_0^{k-1}(t)) * a_e(t)$$

เมื่อ $a_e(t)$ เป็นค่าการแปลงลาปลาซกลับของ $A_e(s)$

ขั้นตอนที่ 4: ถ้า $E_0^k(t), E_1^k(t)$ ใกล้เคียงกับ $E_0^{k-1}(t), E_1^{k-1}(t)$ แสดงว่าได้คำตอบของวงจรแล้ว แต่ถ้ายัง ให้กำหนด $k = k + 1$ แล้วกลับไปทำขั้นตอนที่ 2

อย่างไรก็ดีวิธีของ Mayer, Marti และ Chang มีปัญหาเหมือนกันเรื่องความไม่เสถียรภาพของวงจร เนื่องจากการประมาณค่า $Z_0(s)$ และ $e^{\tau(s)}$ ด้วยฟังก์ชันตรรกยะอาจทำให้เกิดขั้ว (pole) ที่เป็นเลขบวก

2.2.3 Convolution และ Recursive Convolution technique

วิธีนี้ใช้การแปลงลาปลาซกับสมการ Telegrapher เป็นสมการอนุพันธ์อันดับหนึ่งเทียบกับระยะทางในลาปลาซโดเมนดังสมการ

$$\frac{\partial}{\partial x} \begin{bmatrix} v(x, s) \\ i(x, s) \end{bmatrix} = - \begin{bmatrix} 0 & Ls + R \\ Cs + G & 0 \end{bmatrix} \times \begin{bmatrix} v(x, s) \\ i(x, s) \end{bmatrix} \quad (2.16)$$

สมการนี้มีผลเฉลยที่ปลายสายส่ง $x=1$ ดังสมการ

$$\begin{bmatrix} i_0(s) \\ -i_1(s) \end{bmatrix} = \frac{Y_0(s)}{e^{\tau(s)} - e^{-\tau(s)}} \begin{bmatrix} e^{\tau(s)} + e^{-\tau(s)} & -2 \\ -2 & e^{\tau(s)} + e^{-\tau(s)} \end{bmatrix} \begin{bmatrix} v_0(s) \\ v_1(s) \end{bmatrix} \quad (2.17)$$

โดย $Y_0(s) = \sqrt{\frac{sC+G}{sL+R}}$; $\tau(s) = \sqrt{(sL+R)(sC+G)}$ จัดรูปสมการใหม่จะได้ว่า

$$Y_0(s)v_0(s) - i_0(s) = e^{-\tau(s)}(Y_0(s)v_1(s) - i_1(s)) \quad (2.18)$$

$$Y_0(s)v_1(s) + i_1(s) = e^{-\tau(s)}(Y_0(s)v_0(s) + i_0(s)) \quad (2.19)$$

แปลงกลับลาปลาซเพื่อหาคำตอบในโดเมนเวลาเป็นตามสมการ

$$h_1(t) * v_0(t) - i_0(t) = h_3(t) * v_1(t) - h_2(t) * i_1(t) \quad (2.20)$$

$$h_1(t) * v_1(t) + i_1(t) = h_3(t) * v_0(t) + h_2(t) * i_0(t) \quad (2.21)$$

โดย $h_1(t) = \mathcal{L}^{-1}\{Y_0(s)\}$; $h_2(t) = \mathcal{L}^{-1}\{e^{-\tau(s)}\}$; $h_3(t) = \mathcal{L}^{-1}\{Y_0(s)e^{-\tau(s)}\}$ และ * หมายถึงตัว

ดำเนินการคอนโวลูชัน (convolution) ตามสมการ $f(t) * g(t) = \int_{-\infty}^{\infty} f(\tau)g(t-\tau)d\tau$

เนื่องจากการจำลองมีค่าตั้งแต่ 0 ถึง t ดังนั้น $f(t) * g(t) = \int_0^t f(\tau)g(t-\tau)d\tau$ ด้วยเหตุ

ที่วิธีในกลุ่มนี้ใช้การคอนโวลูชันกับสมการ Telegrapher โดยตรง จึงต่างจากวิธีของ Mayer, Marti และ Chang ต้องสร้างแบบจำลองของสายส่งขึ้นมาก่อน เราจึงเรียกวิธีในกลุ่มนี้ว่าวิธีคอนโวลูชัน

ปี 1991 Roychowdhury และ Pederson [10] ได้หา $h_1(t)$, $h_2(t)$ และ $h_3(t)$ โดยการแปลงกลับลาปลาซในกรณีสายส่งหนึ่งเส้นไว้ดังสมการ

$$h_1(t) = Ye^{-\beta t} [\beta(J_1(\beta t)) - \beta(J_0(\beta t)) + \delta(t)] \quad (2.22)$$

$$h_2(t) = e^{-\beta t} \left[u(t-T) \frac{\beta T}{\sqrt{t^2 - T^2}} J_1(\beta\sqrt{t^2 - T^2}) + \delta(t-T) \right] \quad (2.23)$$

$$h_3(t) = Ye^{-\beta t} \left[u(t-T) \beta \left\{ \frac{t}{\sqrt{t^2 - T^2}} J_1(\beta\sqrt{t^2 - T^2}) - J_0(\beta\sqrt{t^2 - T^2}) \right\} + \delta(t-T) \right] \quad (2.24)$$

เมื่อ $T = \sqrt{LC}$, $\beta = \frac{R}{2L}$ และ $Y = \sqrt{\frac{L}{C}}$ โดยที่ $J_0(\bullet)$ และ $J_1(\bullet)$ เป็นเบสเซลฟังก์ชัน (Bessel function) อันดับที่ 0 และ 1 ตามลำดับ

การคอนโวลูชันนั้นจะใช้วิธีอินทิเกรตสี่เหลี่ยมคางหมู (Trapezoidal Rule) และต้องใช้ค่าแรงดันและกระแสตั้งแต่เริ่มต้นถึงปัจจุบันทำให้ใช้เวลามากในการคำนวณ ดังนั้นในปี 1992 Lin [11] ได้เสนอให้นำคอนโวลูชันแบบวนกลับมาใช้เพื่อลดการคำนวณ โดยใช้ผลคอนโวลูชันของ

หนึ่งชั้นเวลาก่อนหน้ามาคำนวณแทนการใช้ค่าแรงดันและกระแสตั้งแต่เริ่มต้น หลักการของวิธีดังกล่าวเริ่มต้นจากกรณีที่มีความสัมพันธ์ของค่าลาปลาซดังนี้

$$I(s) = Y(s)V(s) \quad (2.25)$$

โดย $Y(s)$ เป็นฟังก์ชันตรรกยะตามสมการ

$$Y(s) = \sum_{j=1}^m \frac{k_j}{s - q_j} \quad (2.26)$$

ดังนั้น $I(s) = \sum_{j=1}^m I_j(s)$ โดย $I_j(s) = \frac{k_j V(s)}{s - q_j}$ เมื่อแปลงกลับค่าลาปลาซ $I(s)$ ได้ว่า

$$i(t) = \sum_{j=1}^m i_j(t) \quad (2.27)$$

โดย $i_j(t) = \int_0^t k_j v(\tau) e^{q_j(t-\tau)} d\tau$ เมื่อแบ่งอินทิเกรตออกเป็นสองช่วงคือ 0 ถึง $t-h$ และ $t-h$ ถึง t ได้ดังสมการต่อไปนี้

$$i_j(t) = \int_{t-h}^t k_j v(\tau) e^{q_j(t-\tau)} d\tau + e^{q_j h} i_j(t-h) \quad (2.28)$$

เมื่อใช้กฎสี่เหลี่ยมคางหมูประมาณค่าอินทิเกรตในช่วง $t-h$ ถึง t ได้ผลตามสมการ

$$i_j(t) = \frac{k_j h}{2} [v(t) + e^{q_j h} v(t-h)] + e^{q_j h} i_j(t-h) \quad (2.29)$$

ดังนั้นวิธีการคอนโวลูชันแบบวนกลับจึงมีความแม่นยำเทียบเท่าวิธีประมาณค่าแบบสี่เหลี่ยมคางหมูและสามารถลดเวลาที่ใช้คำนวณได้ อย่างไรก็ตามเมื่อนำวิธีนี้มาใช้กับสายส่งต้องประมาณค่า $Y_0(s)$, $e^{-\lambda(s)}$ และ $Y_0(s)e^{-\lambda(s)}$ ด้วยฟังก์ชันตรรกยะ (Rational function) ตามวิธี Pade Approximation [9] หรือ Pade via Lanczos (PVL) [12] เพื่อให้อยู่ในรูปแบบตามสมการ (2.26) ดังนั้นความแม่นยำและเสถียรภาพของแบบจำลองจะขึ้นอยู่กับวิธีการประมาณค่าด้วยฟังก์ชันตรรกยะ

2.2.4 Numerical Inverse Laplace Transform (NILT)

Griffith และ Nakhla (1990) [13] เสนอวิธีหาค่าแรงดันและกระแส ณ เวลาใดๆ ของวงจรเชิงเส้นที่ประกอบด้วยสายส่ง โดย Griffith และ Nakhla ได้เสนอให้วิเคราะห์แรงดันและกระแส ณ จุดต่างๆ ของวงจรในลาปลาซโดเมน แล้วจึงแปลงแปลงกลับเพื่อหาคำตอบโดเมนเวลา ซึ่งต่างกับวิธีคอนโวลูชันที่หาผลวิเคราะห์ในโดเมนเวลาเลย ถึงแม้ทั้งสองวิธีจะเริ่มจากสมการแบบจำลองในลาปลาซโดเมนเหมือนกัน หลักการของ NILT จะใช้ได้กับวงจรที่อุปกรณ์ทั้งหมดเป็นอุปกรณ์เชิงเส้น ทำให้สามารถเขียนความสัมพันธ์ระหว่างแรงดันและกระแสของอุปกรณ์ต่างๆ ได้ดังสมการ

$$I(s) = Y(s)V(s) \quad (2.30)$$

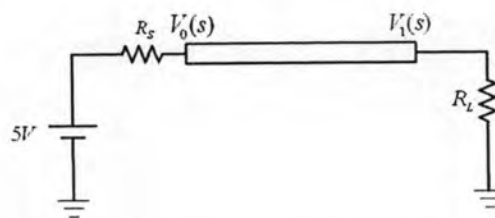
ในกรณีสายส่งหนึ่งเส้นความสัมพันธ์ของแรงดันและกระแสที่ปลายสายจะเป็นดังนี้

$$\begin{aligned} \begin{bmatrix} I_0(s) \\ -I_1(s) \end{bmatrix} &= \frac{Y_0(s)}{e^{\tau(s)} - e^{-\tau(s)}} \begin{bmatrix} e^{\tau(s)} + e^{-\tau(s)} & -2 \\ -2 & e^{\tau(s)} + e^{-\tau(s)} \end{bmatrix} \begin{bmatrix} V_0(s) \\ V_1(s) \end{bmatrix} \\ &= \begin{bmatrix} H_{11}(s) & H_{12}(s) \\ H_{21}(s) & H_{22}(s) \end{bmatrix} \begin{bmatrix} V_0(s) \\ I_1(s) \end{bmatrix} \end{aligned} \quad (2.31)$$

โดย $Y_0(s) = \sqrt{\frac{sC+G}{sL+R}}$; $\tau(s) = \sqrt{(sL+R)(sC+G)}$ ซึ่งความสัมพันธ์ของแรงดัน

และกระแสในโดเมนลาปลาซของสายส่งจึงมีลักษณะเป็นเชิงเส้น

วงจรตัวอย่างในรูปที่ 2-8 เมื่อแทนลาปลาซของอุปกรณ์ทุกตัว ค่าลาปลาซของแรงดันและกระแสที่โหนดต่างๆ ได้ เช่น $V_0(s), V_1(s), I_0(s), I_1(s)$ สามารถเขียนความสัมพันธ์ในเทอมอินพุทลาปลาซได้ตามสมการ (2.32)



รูปที่ 2-8 วงจรสำหรับแสดงการคำนวณตามวิธี NILT

$$\begin{bmatrix} -\frac{1}{R_s} & \frac{1}{R_s} + H_{11}(s) & H_{12}(s) \\ 0 & H_{12}(s) & H_{12}(s) + \frac{1}{R_L} \\ 1 & 0 & 0 \end{bmatrix} \begin{bmatrix} V_s(s) \\ V_0(s) \\ V_1(s) \end{bmatrix} = \begin{bmatrix} \frac{5}{s} \\ 0 \\ 0 \end{bmatrix} \quad (2.32)$$

จากสมการ (2.32) เราสามารถหาแรงดันในโดเมนลาปลาซได้ และเพื่อให้ได้คำตอบในโดเมนของเวลาจึงใช้วิธีแปลงกลับลาปลาซตามสมการ

$$v(t) = \frac{1}{2\pi j} \int_{c-j\infty}^{c+j\infty} V(s)e^{st} ds \quad (2.33)$$

เนื่องจากสมการ (2.33) อยู่ในรูปอินทิเกรตซึ่งยุ่งยากในการคำนวณดังนั้นจึงเปลี่ยนให้อยู่ในรูปของผลรวมตามขั้นตอนคือ

$$v(t) = \frac{1}{2\pi jt} \int_{c-j\infty}^{c+j\infty} V(z/t)e^z dz ; z = st \quad (2.34)$$

ทำการประมาณค่า e^z ด้วยวิธี Pade Approximation [9]

$$e^z \approx \xi(z) = \frac{a_0 + a_1 z + \dots + a_m z^m}{1 + b_1 z + \dots + b_n z^n} \quad (2.35)$$

โดย a_i, b_j เมื่อ $i=1, \dots, m$ และ $j=1, \dots, n$ เป็นสัมประสิทธิ์ที่ได้จากการประมาณค่า n, m เป็นอันดับที่ใช้ในการประมาณ เมื่อกระจายเศษส่วนย่อยของ $\xi(z)$ จะได้

$$\xi(z) = \frac{k_1}{(z-z_1)} + \frac{k_2}{(z-z_2)} + \dots + \frac{k_{m+n}}{(z-z_{m+n})} \quad (2.36)$$

ดังนั้นเราจึงเขียนสมการแปลงกลับลาปลาซใหม่ได้ว่า

$$v(t) \approx \frac{1}{2\pi jt} \int_{c-j\infty}^{c+j\infty} V(z/t)\xi(z) dz \quad (2.37)$$

เมื่อใช้ทฤษฎีส่วนตกค้าง (Residue theorem) ช่วยการอินทิเกรต จะได้ว่า

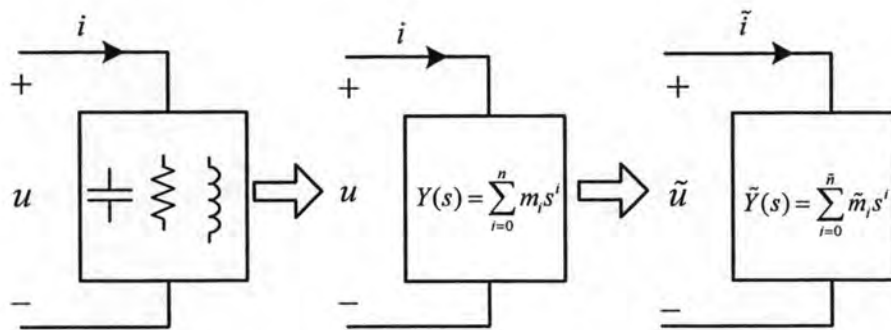
$$v(t) \approx -\frac{1}{t} \sum_{i=1}^{m+n} k_i V(z_i/t) \quad (2.38)$$

การที่อุปกรณ์ต่างๆ ในวงจรจำเป็นจะต้องมีคุณสมบัติเป็นเชิงเส้นนับเป็นข้อจำกัดสำคัญของวิธี NILT ดังนั้นในปี 1994 Manney และ Nakhla [14] จึงปรับปรุงวิธีดังกล่าวให้สามารถใช้กับวงจรที่มีอุปกรณ์ไม่เป็นเชิงเส้น โดยใช้วิธี Newton-Raphson ประมาณฟังก์ชันไม่เป็นเชิงเส้นให้เป็นเชิงเส้นก่อน แต่กลับทำให้เกิดข้อจำกัดใหม่ซึ่งเกิดจากวิธี Newton-Raphson ที่เป็นการ

คำนวณแบบวนซ้ำ (iteration) ทำให้ต้องแบ่งเวลาออกเป็นช่วงเล็กๆ ทำให้สูญเสียข้อดีของวิธี NILT ไป

2.2.5 Model Order Reduction (MOR)

MOR เป็นวิธีประมาณความนำขาเข้า (input admittance) ของวงจร RLC แบบ N พอร์ต (port) โดยอาศัยหลักการที่ว่าเราสามารถเขียนความสัมพันธ์ของแรงดันและกระแสที่พอร์ตขาเข้าของวงจร RLC ด้วยฟังก์ชันตรรกยะได้ ดังแสดงในรูปที่ 2-9 หลักการประมาณความนำขาเข้าของวงจร 1 พอร์ต ด้วยวิธี MOR ที่ $\tilde{n} < n$ กำหนดให้วงจร RLC ดังกล่าวมีจำนวนอันดับ (Order) เท่ากับ n เพื่อให้ลดงานที่ใช้ในการคำนวณ จึงประมาณฟังก์ชันดังกล่าวด้วยฟังก์ชันตรรกยะที่มีอันดับ \tilde{n} ที่ลดลง กล่าวคือ $\tilde{n} < n$



รูปที่ 2-9 หลักการประมาณความนำขาเข้าของวงจร 1 พอร์ต ด้วยวิธี MOR ที่ $\tilde{n} < n$

ความแม่นยำของการประมาณจะวัดด้วยจำนวนโมเมนต์ของความนำทั้งสองที่จับคู่เท่ากัน โมเมนต์เหล่านี้หาได้จากการกระจายอนุกรมเทเลอร์ (Taylor Series Expansion) กล่าวคือ เมื่อให้

$$Y(s) = \sum_{i=0}^{\infty} m_i s^i \quad ; \quad m_i \text{ คือโมเมนต์อันดับที่ } i \text{ ของ } Y(s)$$

$$\tilde{Y}(s) = \sum_{i=0}^{\infty} \tilde{m}_i s^i \quad ; \quad \tilde{m}_i \text{ คือโมเมนต์อันดับที่ } i \text{ ของ } \tilde{Y}(s)$$

จะได้ว่า $\tilde{Y}(s)$ สามารถประมาณ $Y(s)$ ได้ถึงโมเมนต์อันดับที่ l เมื่อ $m_i = \tilde{m}_i \quad ; \quad i = 0, 1, \dots, l$

ที่ผ่านมา มีผู้เสนอการประมาณตามหลักการนี้อยู่หลายวิธี ในที่นี้เราจะเสนอวิธีที่มีชื่อเสียงมาสองวิธี ได้แก่

a) วิธี Asymptotic Waveform Evaluation (AWE) ได้แก่งานวิจัยของ Tang (1992)[15] หรือ Das (1997) [16] วิธีนี้จะเขียน $\tilde{Y}(s)$ ให้อยู่ในรูป

$$\tilde{Y}(s) = \sum_{i=1}^{\tilde{n}} \frac{k_i}{s - q_i} \quad (2.39)$$

เนื่องจากมีตัวแปร k_i กับ q_i ให้เลือกค่าถึง $2k_i$ ตัว วิธีนี้จึงสามารถจับคู่โมเมนต์ระหว่าง $\tilde{Y}(s)$ กับ $Y(s)$ ได้มากถึงอันดับที่ $2k_i - 1$ แต่ q_i อาจเป็นเลขเชิงซ้อนที่มีค่าจริงเป็นบวกได้ทำให้ $\tilde{Y}(s)$ ไม่มีเสถียรภาพเชิงเวลา

b) วิธี Passive Reduced-order Interconnect Macro-modeling Algorithm (PRIMA) [17] ที่นำเสนอโดย Odabasioglu ในปี 1998 วิธีนี้จะค้นหาที่มาของ $Y(s)$ ในรูปของสมการสถานะก่อน กล่าวคือ $Y(s) = i(s)/u(s)$ จะมีที่มาจกสมการ

$$\mathbf{C}\dot{\mathbf{x}} = -\mathbf{G}\mathbf{x} + \mathbf{B}u \quad \text{และ} \quad i = \mathbf{L}^T \mathbf{x}$$

โดย \mathbf{x} เป็นเวกเตอร์ของแรงดันและกระแสในวงจร และ $\mathbf{C}, \mathbf{G}, \mathbf{B}, \mathbf{L}$ เป็นเมทริกซ์ค่าคงที่ขนาด $N \times N$ ของวงจร ดังนั้น

$$Y(s) = \mathbf{L}^T (\mathbf{G} + s\mathbf{C})^{-1} \mathbf{B} = \frac{\sum_{i=0}^{n-1} a_i s^i}{\sum_{i=0}^n b_i s^i} \quad (2.40)$$

จากนั้นวิธีนี้จะสร้างเมทริกซ์การแปลง (Transformation Matrix) \mathbf{X} ขนาด $N \times k_i$ ที่แผ่ (span) ทัวปริภูมิไครลอฟ (Krylov space) $Kr(\mathbf{G}^{-1}\mathbf{C}, \mathbf{G}^{-1}\mathbf{B}, k_i)$ แล้วนำมาสร้างสมการสถานะของวงจรประมาณ $\tilde{Y}(s)$ ดังนี้

$$(\mathbf{X}^T \mathbf{C} \mathbf{X}) \dot{\tilde{\mathbf{x}}} = -(\mathbf{X}^T \mathbf{G} \mathbf{X}) \tilde{\mathbf{x}} + (\mathbf{X}^T \mathbf{B}) \tilde{u} \quad ; \quad \tilde{i} = (\mathbf{L}^T \mathbf{X}) \tilde{\mathbf{x}} \quad (2.41)$$

ดังนั้น $\tilde{Y}(s)$ ซึ่งเท่ากับ $\tilde{i}(s)/\tilde{u}(s)$ จะจับคู่โมเมนต์กับ $Y(s)$ ได้ถึง k_i ตัว แม้วิธีนี้จะจับคู่ได้น้อยกว่าวิธี AWE แต่ก็สามารถรับประกันได้ว่า $\tilde{Y}(s)$ จะเป็นวงจรเฉื่อยงาน (passive) และมีเสถียรภาพทางเวลาเสมอ

เนื่องจากวิธี MOR เป็นการประมาณค่าผลตอบสนองในโดเมนความถี่ด้วยโมเมนต์ที่น้อยกว่า จึงส่งผลต่อความแม่นยำในแต่ละช่วงความถี่ ซึ่งมีหลายงานวิจัยที่พยายามขยายขอบเขตของช่วงความถี่ให้ครอบคลุมได้กว้างขึ้นเช่น วิธีของ Beyene [18] ที่แบ่งโพล (Pole) ออกเป็นกลุ่มย่อยๆ แล้วใช้โพลหลักของกลุ่มเป็นตัวแทน เป็นต้น

สรุปแล้วการนำวิธี MOR มาใช้กับสายส่งจะต้องประมาณค่าสายส่งด้วยวิธีแบ่งท่อน (Segmentation) เสียก่อนเพื่อให้สามารถหาโมเมนต์หรือสร้างสมการสถานะที่ต้องการ แล้วจึงลดอันดับตามขั้นตอนของแต่ละวิธีดังกล่าวข้างต้น ด้วยเหตุนี้ความแม่นยำของการประมาณจึงไม่ดีไปกว่าวิธีแบ่งท่อน เพียงแต่ลดความซับซ้อนของการคำนวณลงได้เท่านั้น